

# Modélisation de solides déformables

# Plan

## **I. Présentation et première approche**

- A. Inspiration
- B. Modélisation mouvement cohérent avec la réalité physique

## **II. Chute d'un solide déformable**

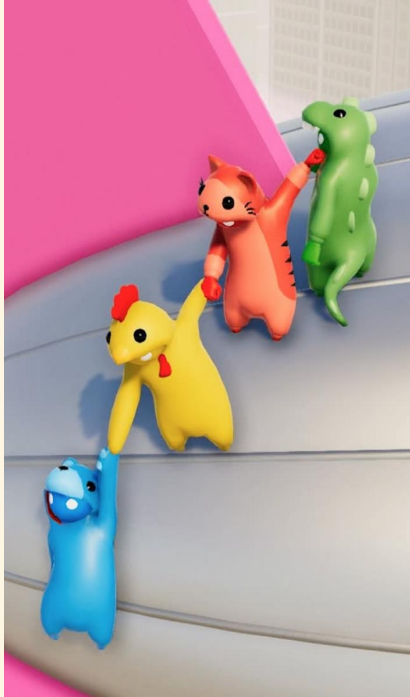
- A. Mise en place d'un système résistant aux perturbations :
  - Méthode d'intégration d'Euler explicite
  - Méthode de Runge et Kutta
- B. Problème de la réaction du support
  - Force électrostatique
  - Méthode de Backtracking

## **III. Optimisation par assimilation à un gaz**

- A. Modèle du gaz parfait
- B. Théorème de Stokes
- C. Expansion en 3 dimensions

# Présentation du problème et première approche

# Motivation



Contraintes :

- Multi-joueurs
- Simulation en temps réel
- Machine parfois avec de faibles capacités

→ Comment minimiser le temps de calcul dans la simulation de solides déformable ?

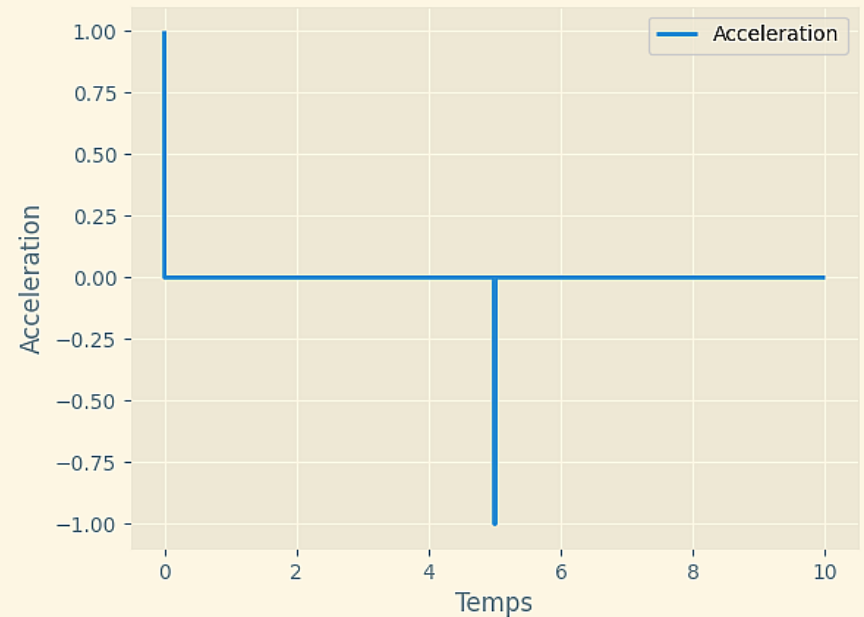
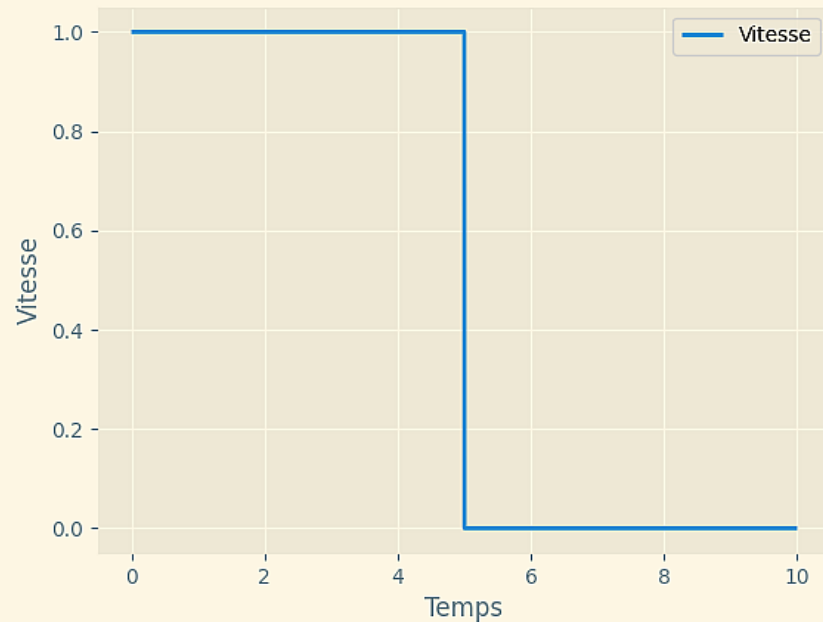
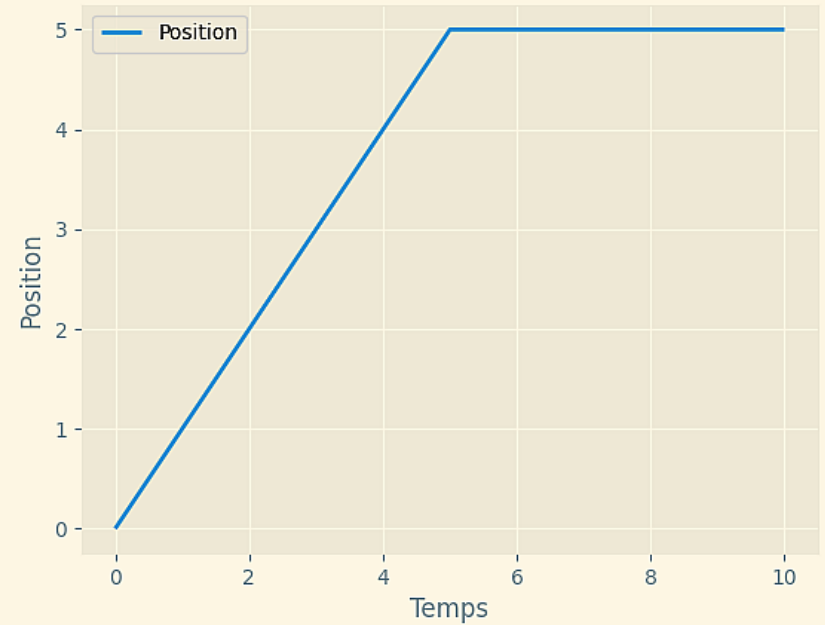
# Modélisation réaliste d'un mouvement

# Cas simple

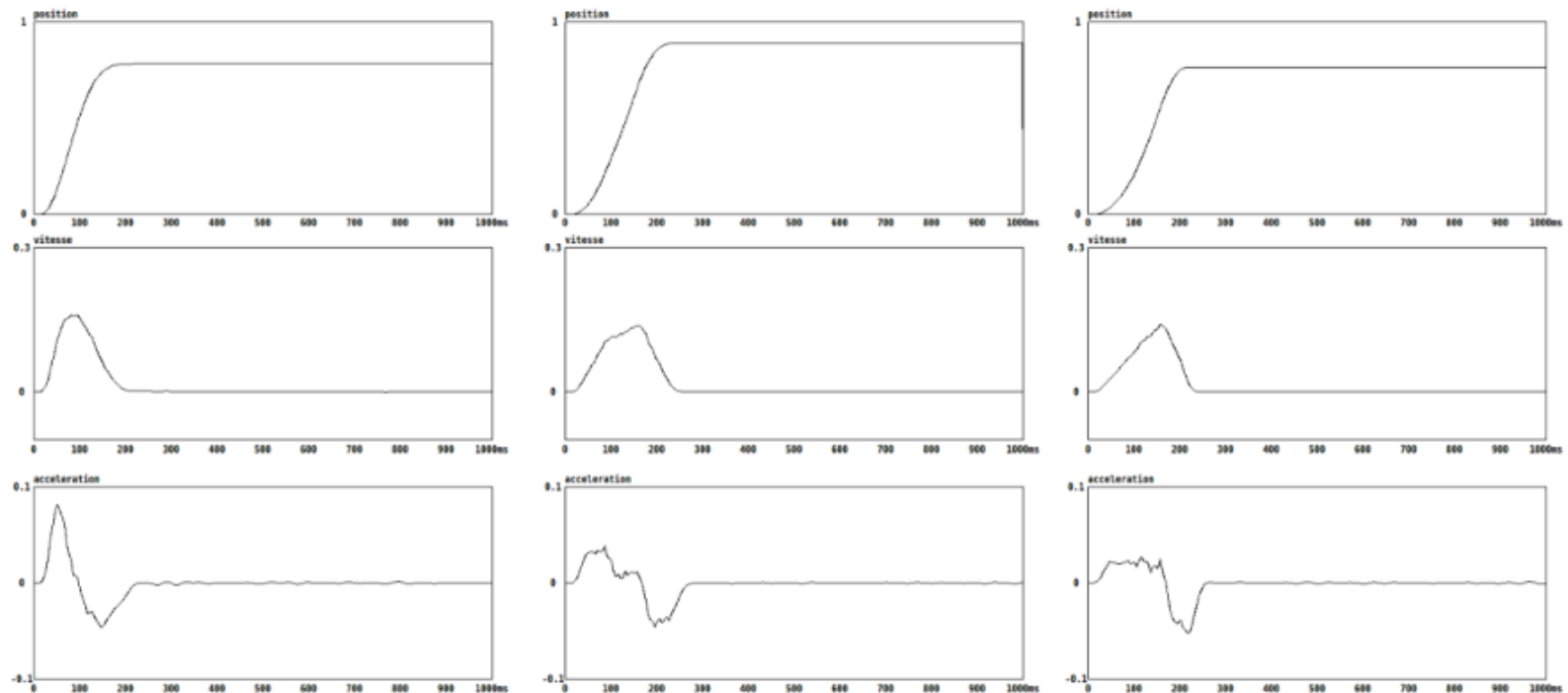


# Modèle informatique simple

## Profil de déplacement linéaire



# Mouvement naturel

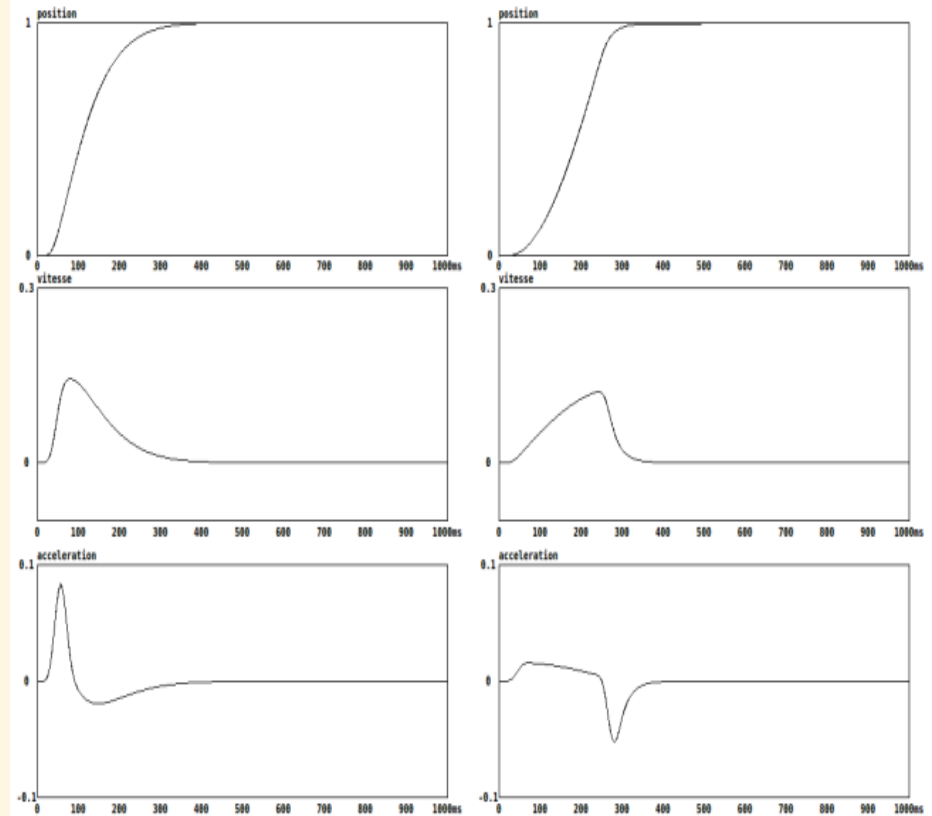
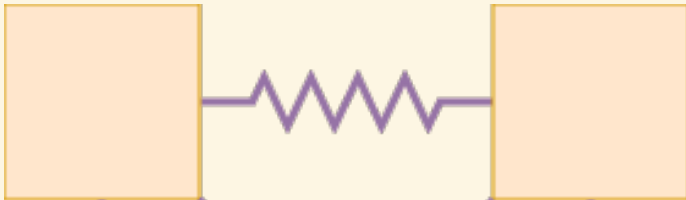


Mass-Spring-System model for real time expressive behaviour  
synthesis ~ Cyrille Henry



# Mouvements type Système masse-ressort

Deux masses en mouvement  
l'une par rapport à  
l'autre



Mass-Spring-System model for real time expressive behaviour  
synthesis ~ Cyrille Henry

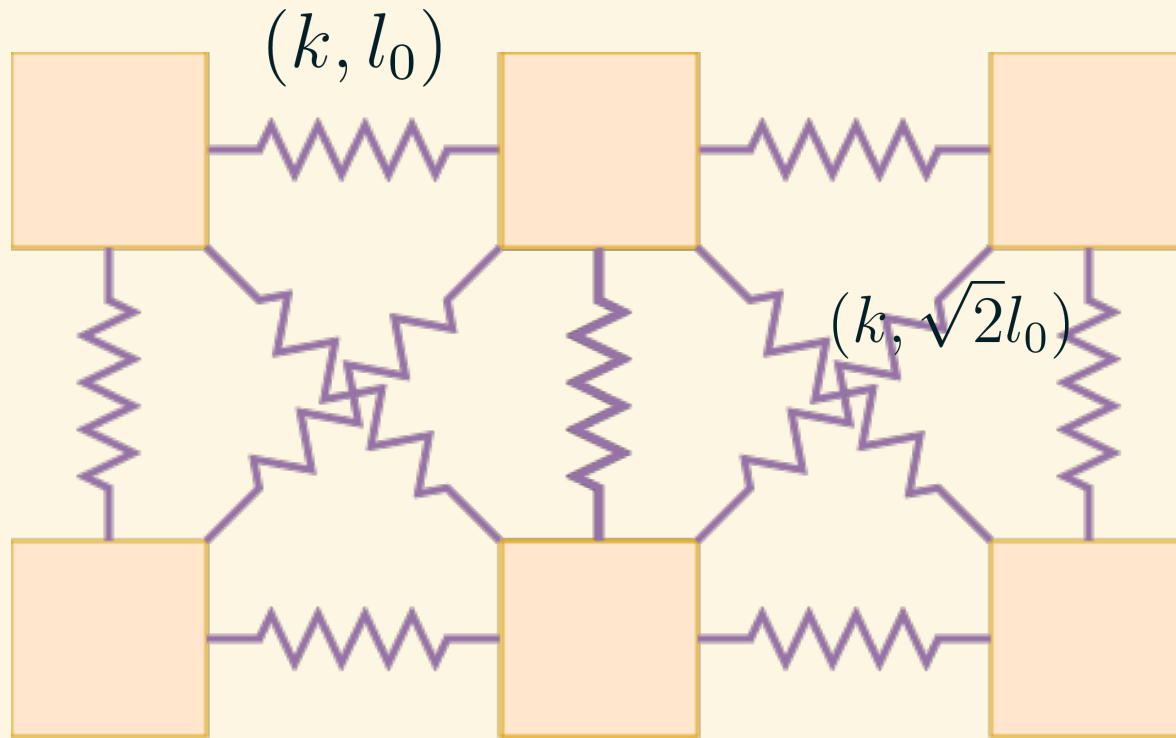
# Problème à résoudre



## II. Réalisation

# 1. Système stable malgré une perturbation

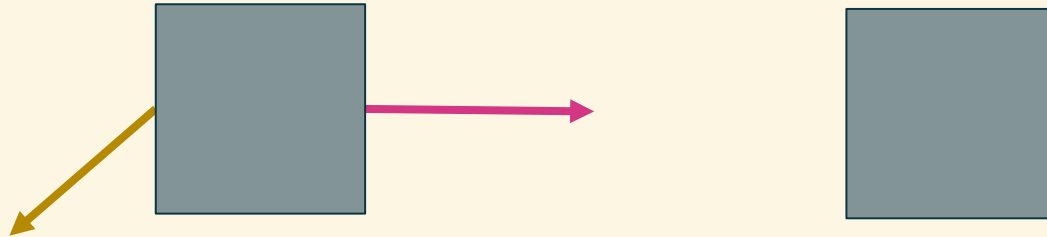
# Structure du système



# Méthode d'Euler explicite

$$\vec{R} = k * (l - l_0) \vec{e}_x$$

$$\vec{f} = -\alpha \vec{v}$$



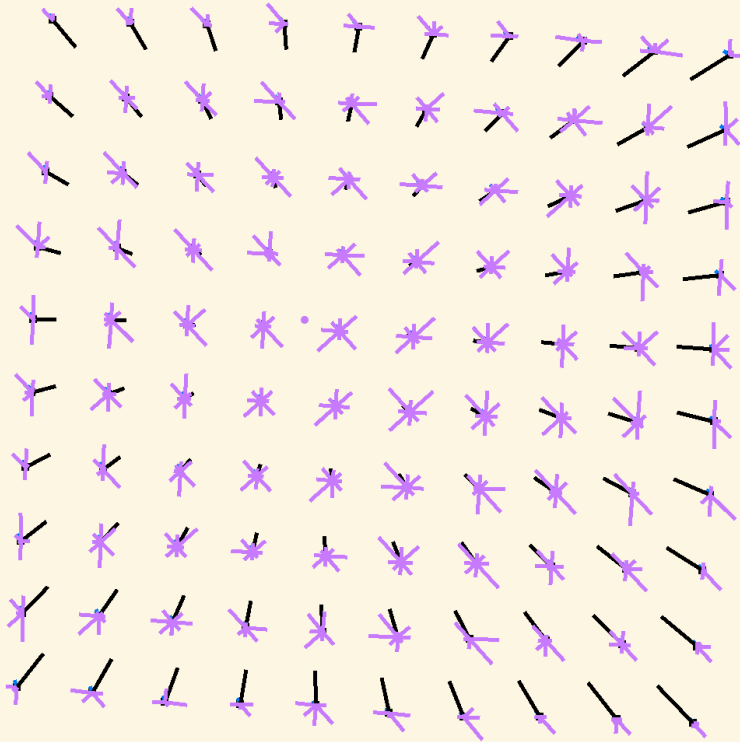
$$x[t + 1] = x[t] + v[t] * dt$$

$$v[t + 1] = v[t] + \text{acceleration}(t) * dt$$

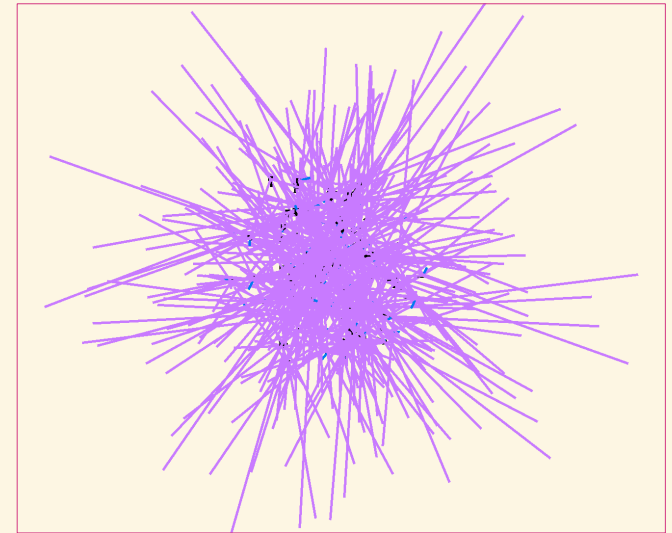
# Résultat de la simulation avec la méthode d'Euler

Compression sous l'effet de la force fictive

État initial



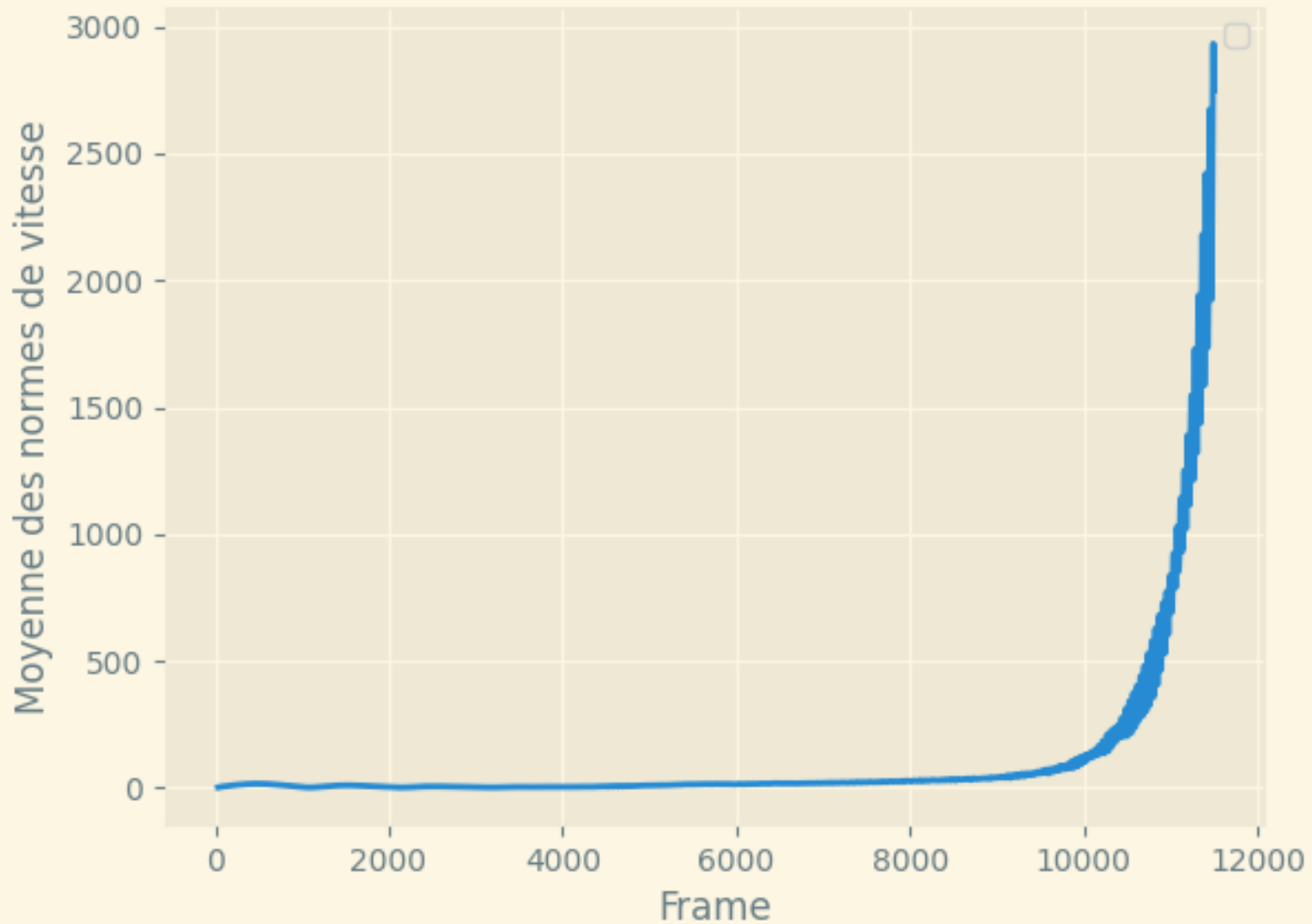
Force élastique en violet  
Force fictive en noir



Explosion du système



# Premier résultat





# Méthode de Runge-Kutta

# Approximation de Runge-Kutta

Tableau des coefficients utilisés

Problème de Cauchy à résoudre

$$\begin{cases} y'(t) = f(t, y) \\ y(t_0) = y_0 \end{cases}$$

$(c_i)$	0	0	0	0	$(a_{i,j})$
$\frac{1}{2}$	$\frac{1}{2}$	0	0	0	
$\frac{1}{2}$	0	$\frac{1}{2}$	0	0	
1	0	0	1	0	
	$\frac{1}{6}$	$\frac{1}{3}$	$\frac{1}{3}$	$\frac{1}{6}$	$(b_j)$

Si  $z$  est solution, on a :

$$t_{n,i} = t_n + c_i \times h$$

$$z(t_{n+1}) = z(t_n) + h \sum_{j \leq 4} b_j f(t_{n,j}, z(t_{n,j}))$$

$$z(t_{n,i}) = z(t_n) + h \sum_{j < i} a_{i,j} f(t_{n,j}, z(t_{n,j}))$$

# Approximation de Runge-Kutta

Problème différentiel physique

$$\begin{cases} y'' = \text{acc}(t, y, y') \\ y'(t_0) = y'_0 \\ y(t_0) = y_0 \end{cases}$$

On pose alors :

$$Y(t) = \begin{pmatrix} y'(t) \\ y(t) \end{pmatrix}$$

$$Y(t_0) = \begin{pmatrix} y'_0 \\ y_0 \end{pmatrix}$$

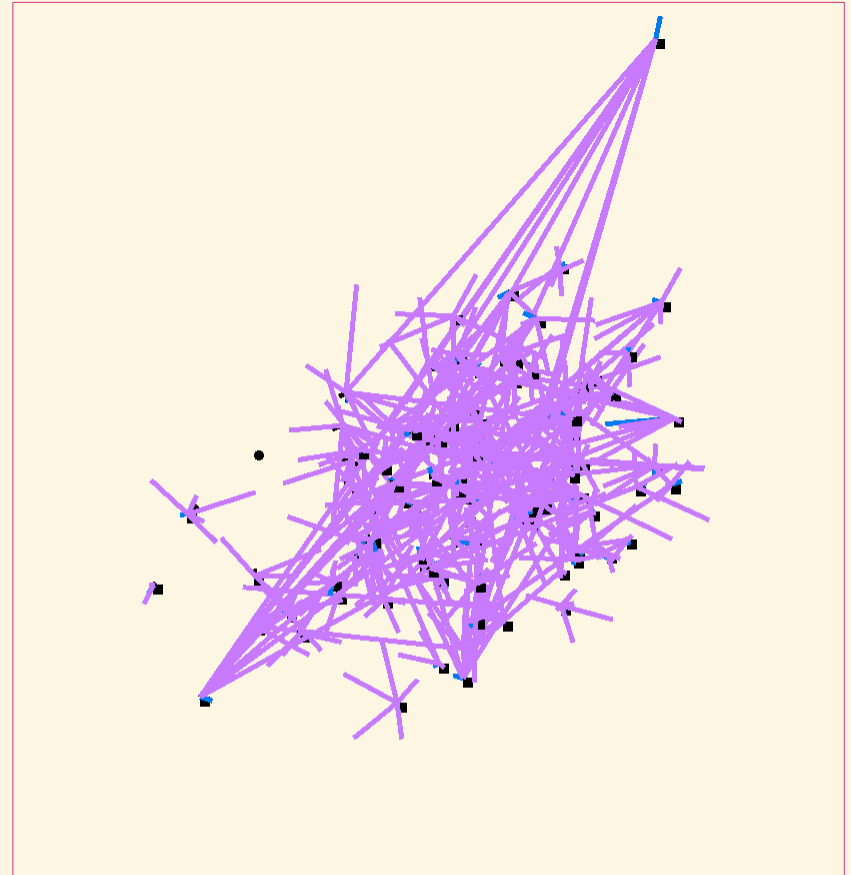
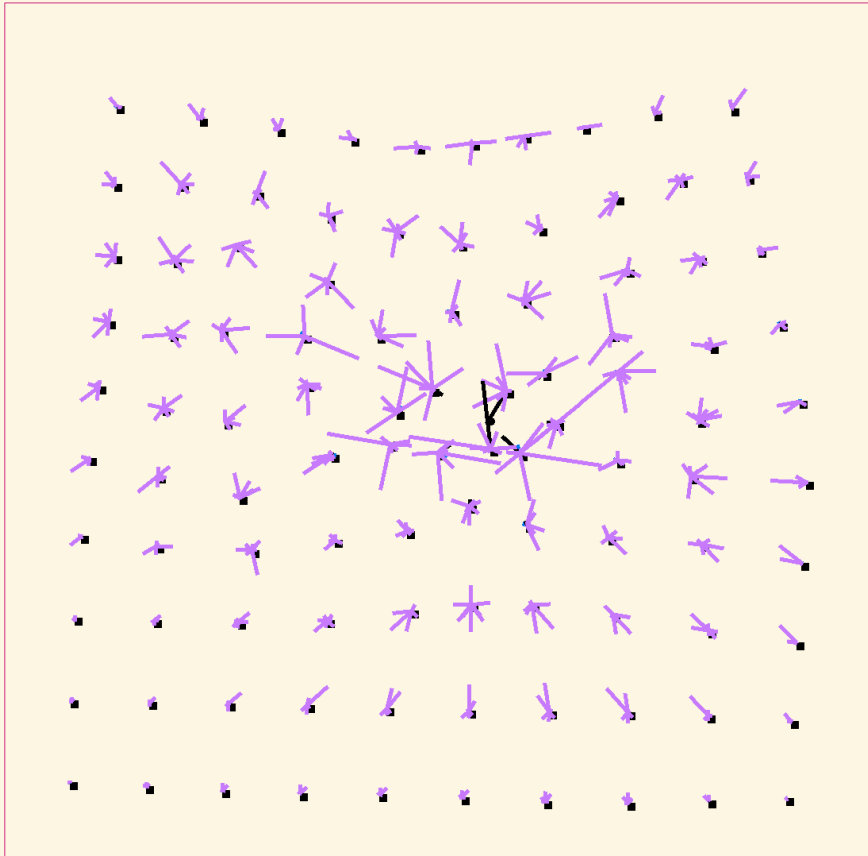
$$\text{d'où } Y'(t) = \begin{pmatrix} y''(t) \\ y'(t) \end{pmatrix} = F(t, Y) = \begin{pmatrix} \text{acc}(t, y, y') \\ y'(t) \end{pmatrix}$$

On a alors le problème de Cauchy  
d'ordre 1 :

$$\begin{cases} Y'(t) = F(t, Y) \\ Y(t_0) = Y_0 \end{cases}$$

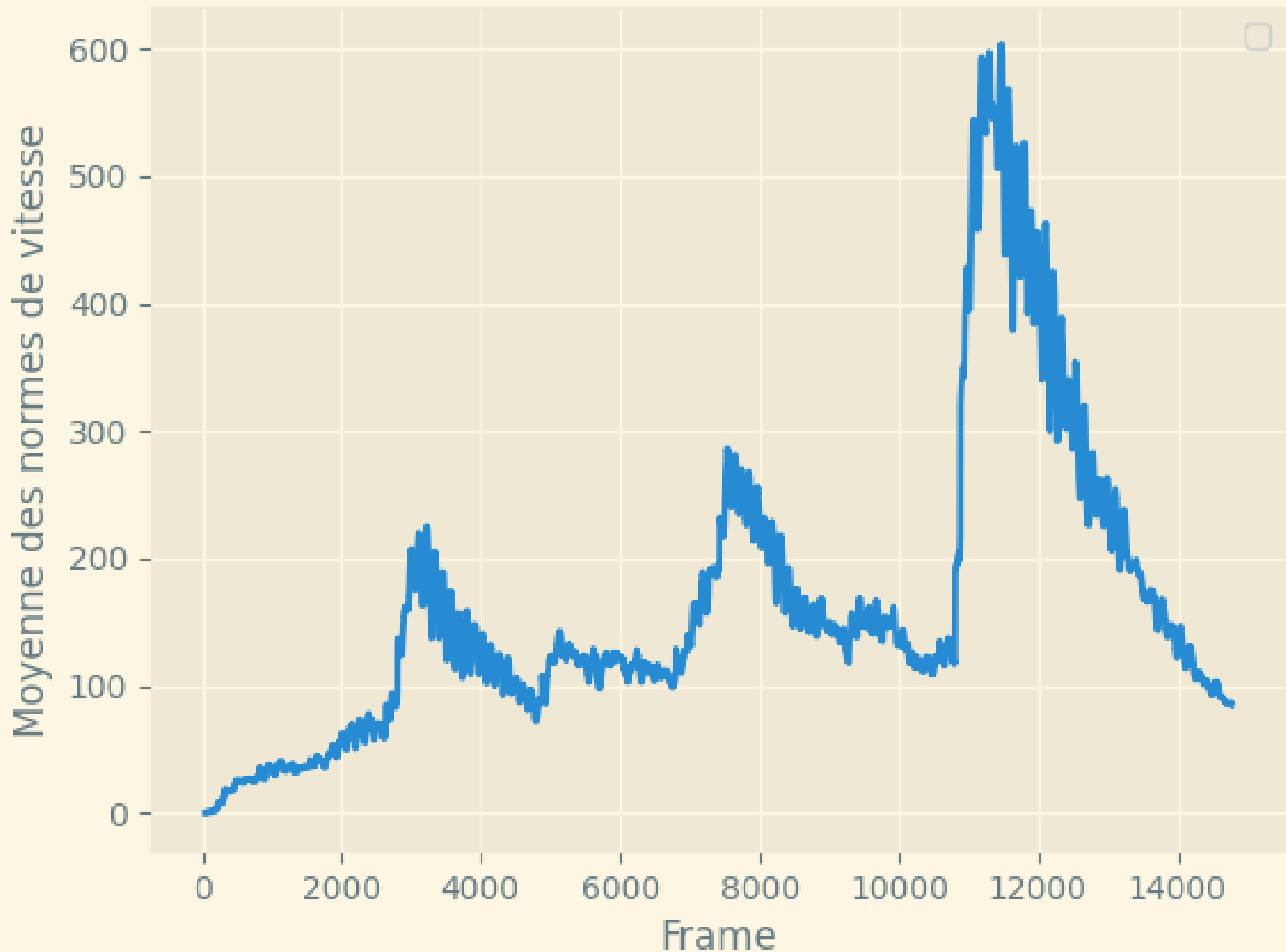
# Résultat d'algorithme

Déformation sous l'effet de la force fictive

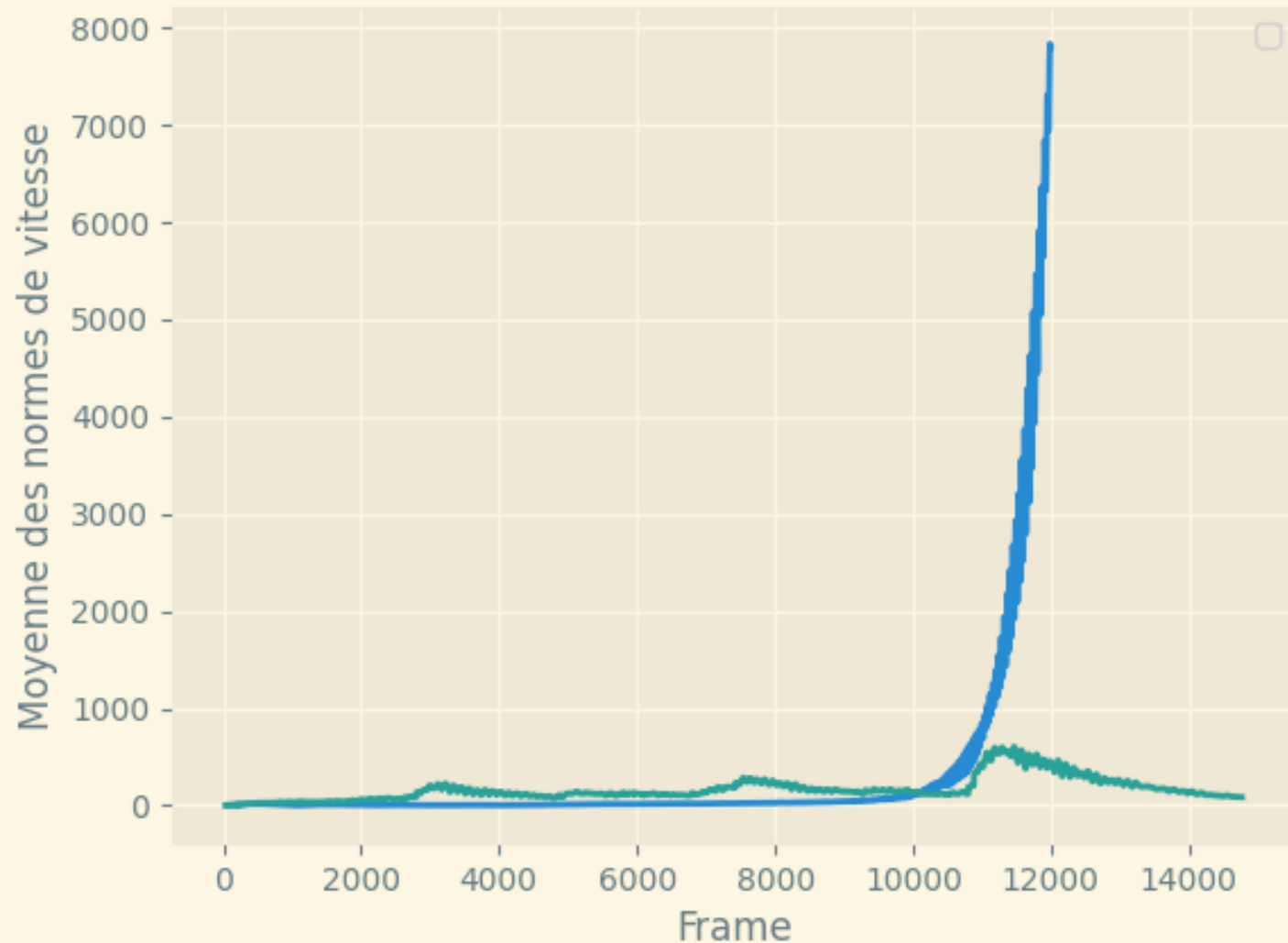


Désordre qui revient à une position d'équilibre

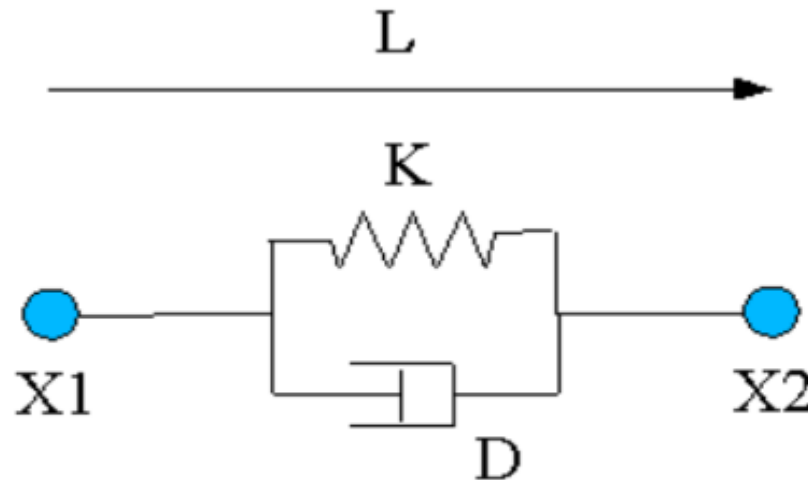
# Résultat de la simulation avec RK4



# Comparaison des résultats par rapport aux méthodes utilisées



# Force d'amortissement pour stabiliser plus rapidement



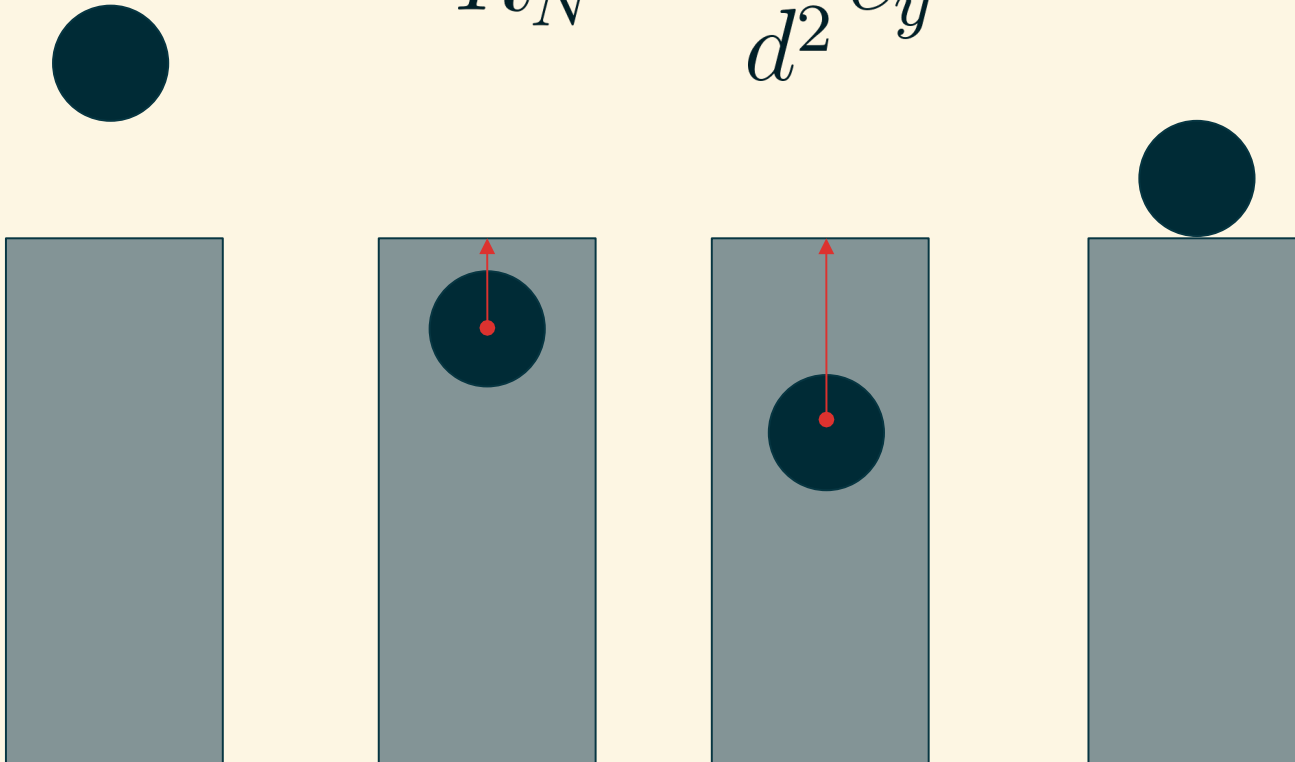
Mass-Spring-System model for real time expressive behaviour  
synthesis ~ Cyrille Henry

## 2. Implémentation des collisions

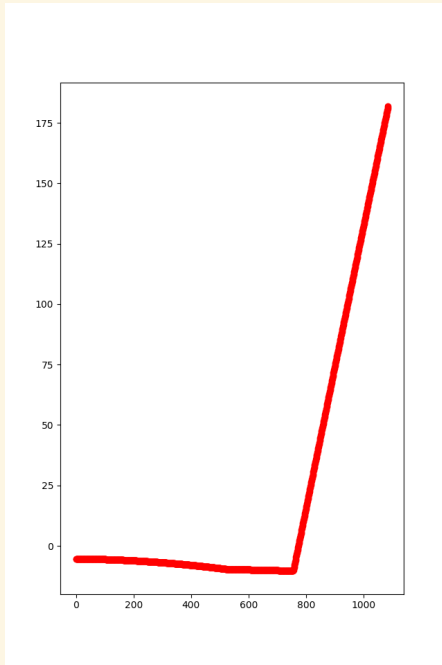


# Collision “magnétique”

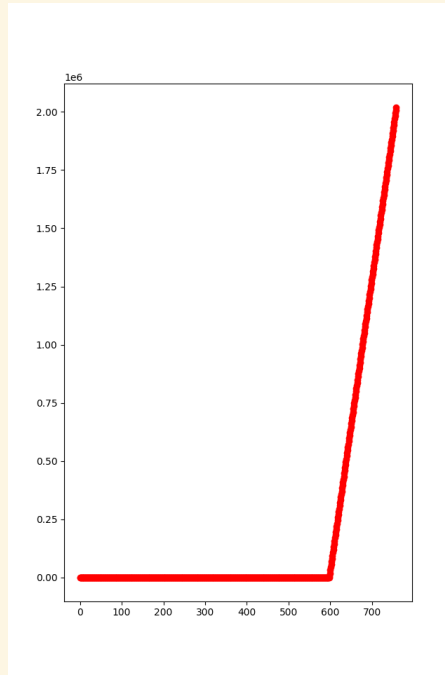
$$\vec{R}_N = \frac{K}{d^2} \vec{e}_y$$



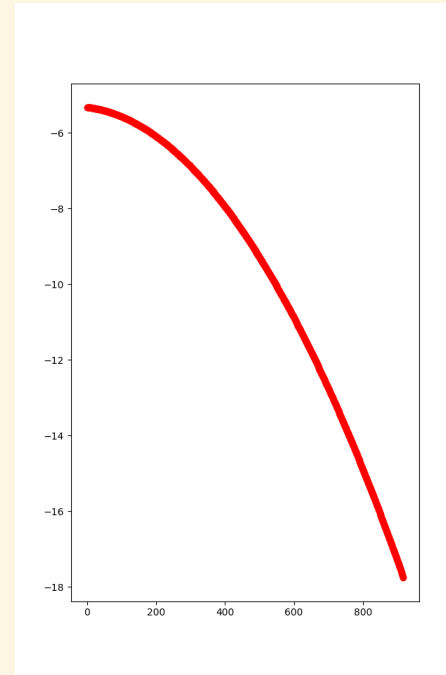
# Résultats pour différentes valeurs de $K$



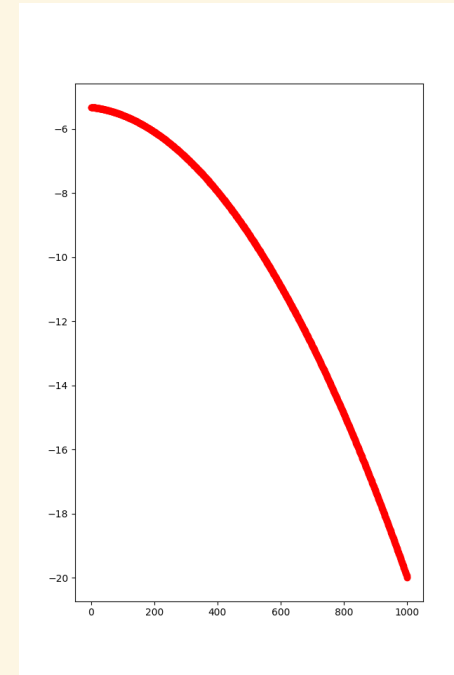
$K = 1.0$



$K = 1.0e-1$



$K = 1.0e-2$



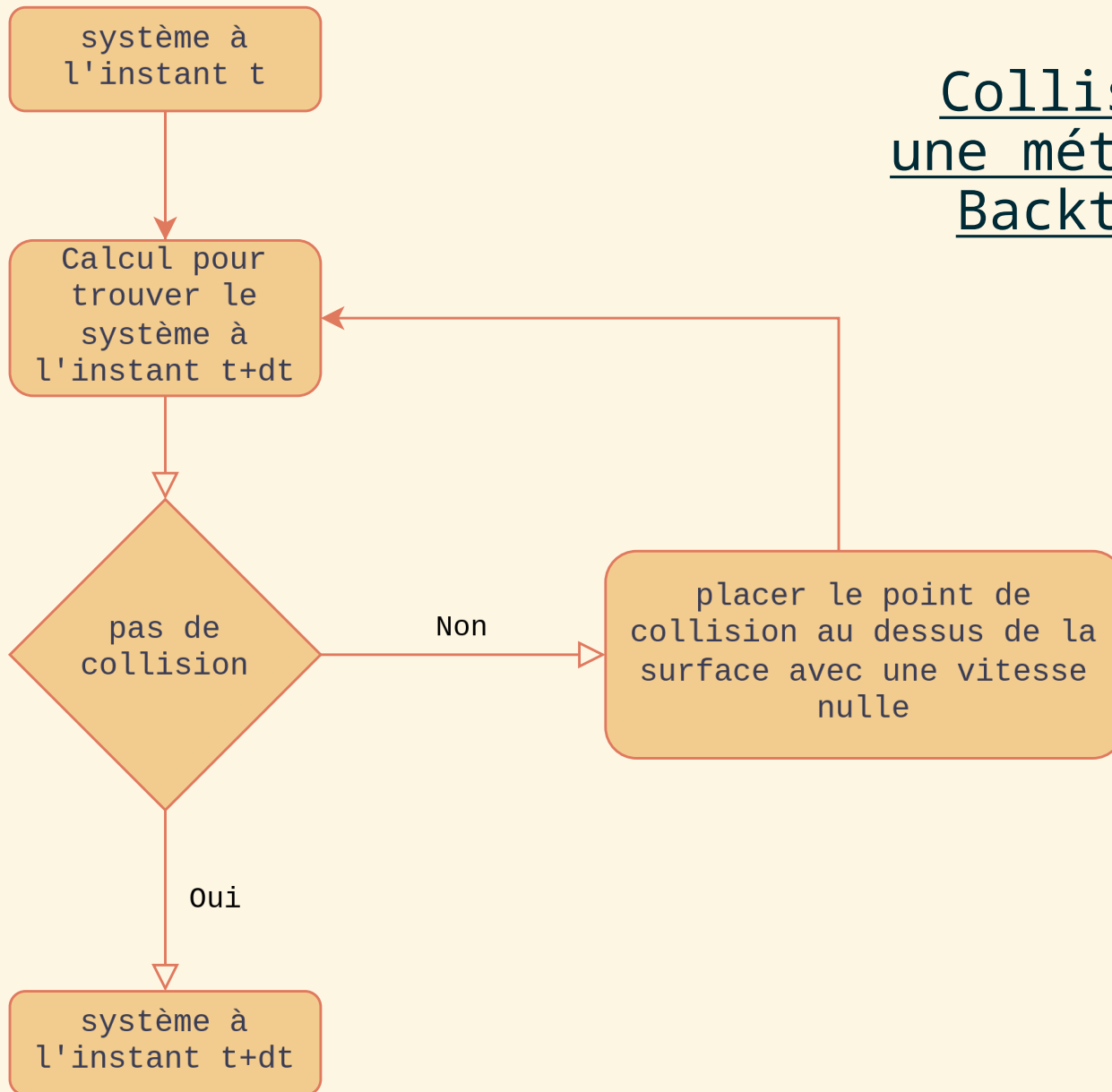
$K = 1.0e-4$

Position moyenne verticale en fonction du temps

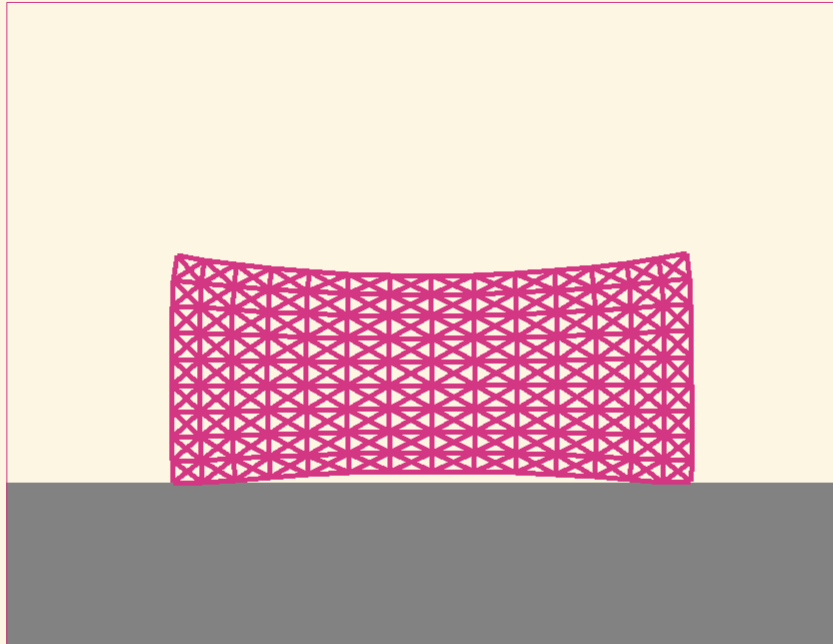
Résultats surprenants car :

- Force discontinue
- Force initialement très élevé lorsque  $d = 0$

## Collision via une méthode type Backtracking



# Résultats

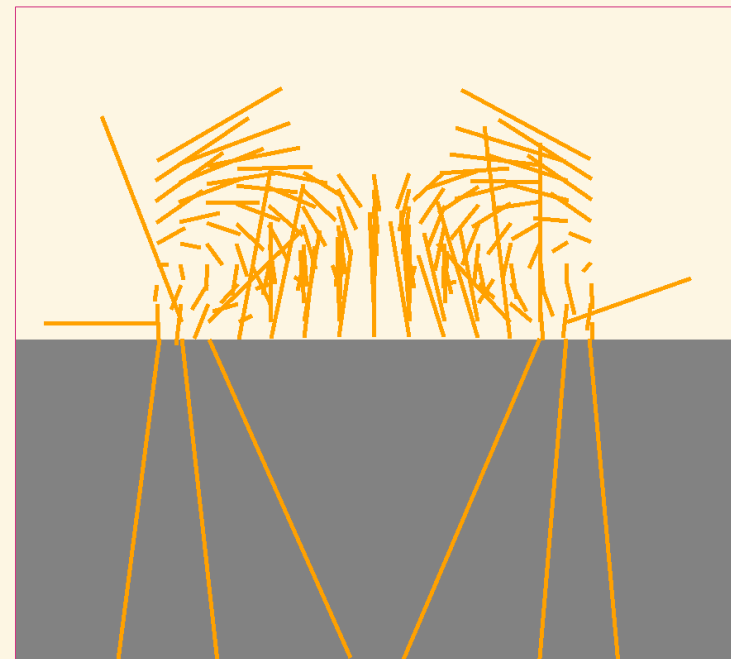


Liaisons des ressorts de la position d'équilibre finale

Champ d'accélération lorsque le système rebondit en l'air

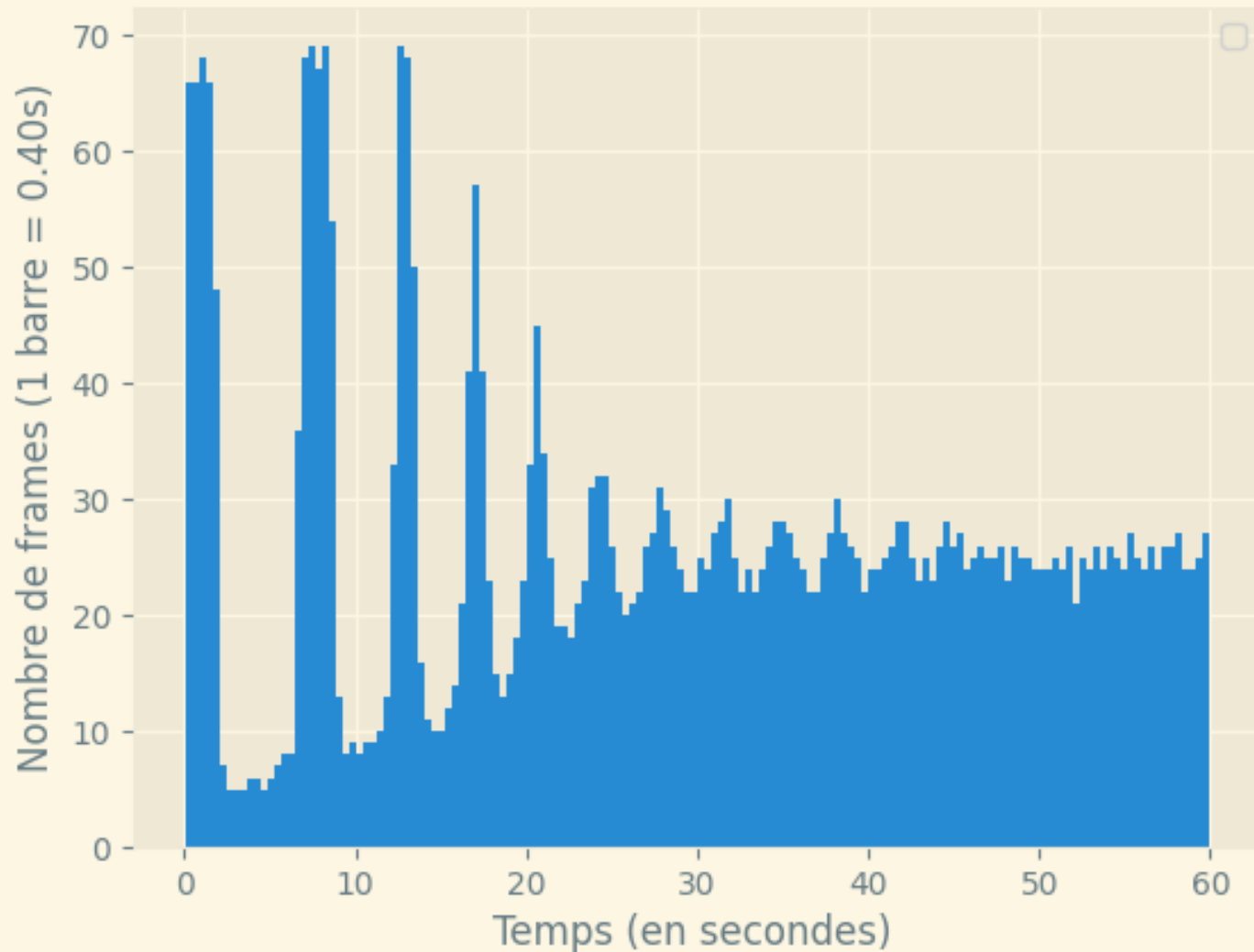


Champ d'accélération lorsque le système est au contact du sol



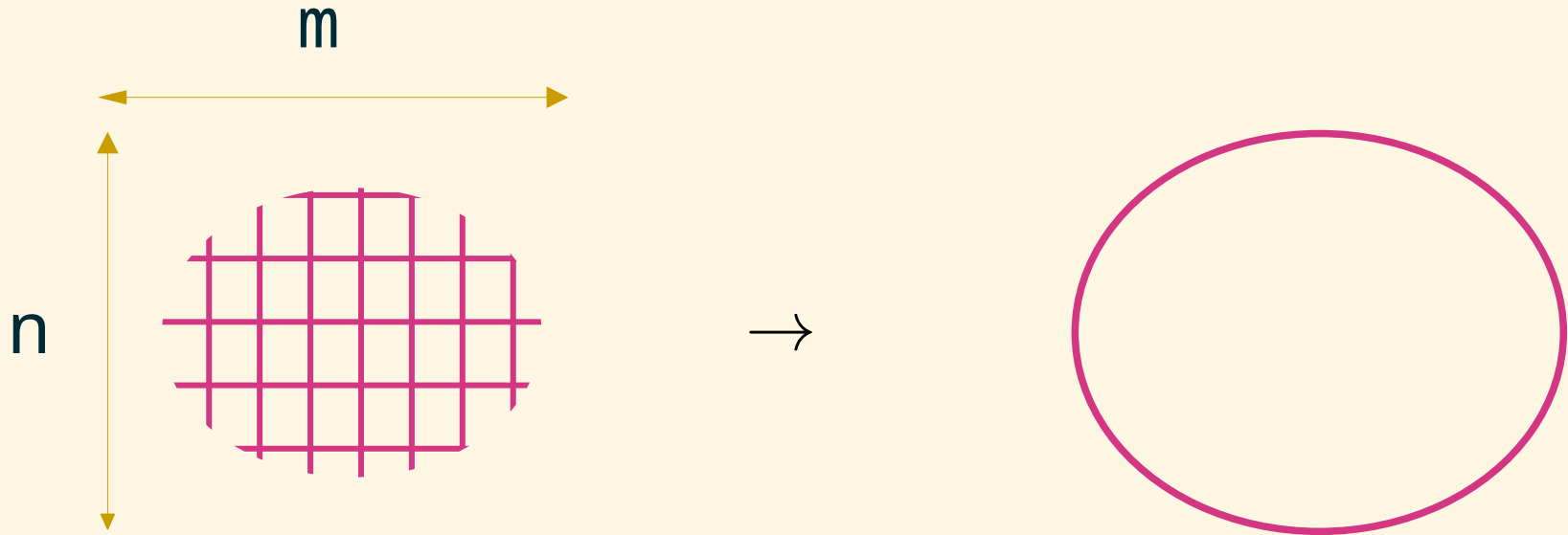
# Résultats

Nombre de frames générées par période de 0,40s durant la simulation (sans affichage graphique)



# III. Deuxième approche

# Modèle de la bulle de gaz parfait

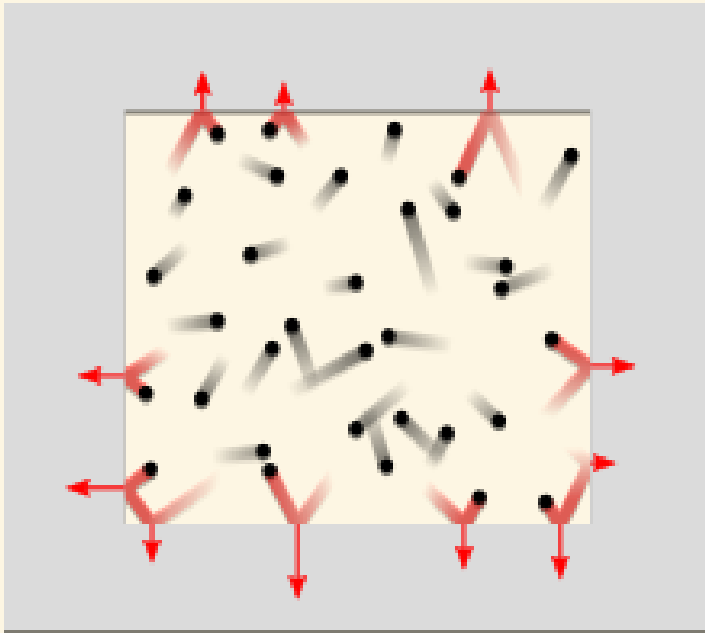


Complexité :  $\mathcal{O}(m * n) \rightarrow \mathcal{O}(m + n)$

Avantages :

- Moins de particules au total à simuler
- Moins de particules au contact du sol

# Modèle de la bulle de gaz parfait



$$\vec{F} = P d\vec{S}$$

$$P = \frac{nRT}{V}$$

$$\vec{F} = K_{nRT} \frac{1}{V} d\vec{S}$$



# Calcul du volume

Théorème de Stokes :

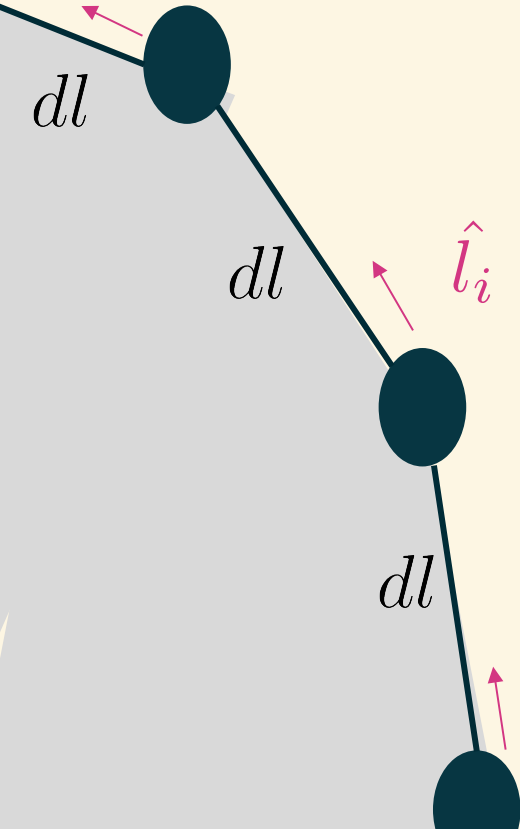
$$\iint_S \operatorname{div} \vec{F} \cdot d\vec{S} = \oint_C \vec{F} \cdot d\vec{l}$$

$$\vec{F} = x\vec{e}_x$$

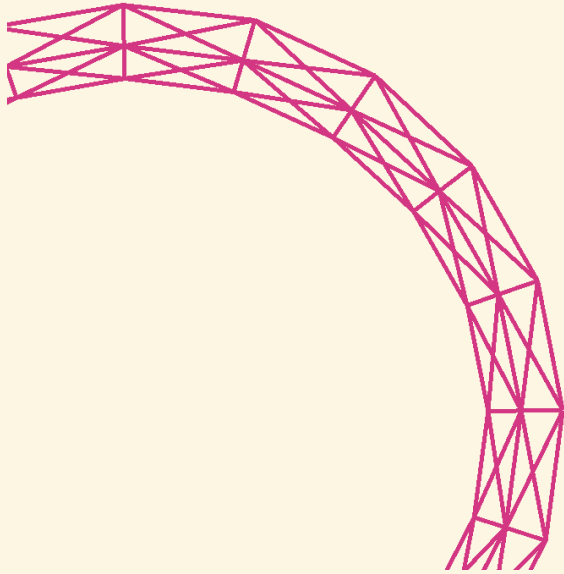
$$\operatorname{div} \vec{F} = 1 \quad \left| \quad \begin{aligned} \vec{F} \cdot d\vec{l} \\ = \vec{F} \cdot \hat{l} dl \end{aligned} \right.$$

$$\iint_S \operatorname{div} \vec{F} \cdot d\vec{S} = S \quad \left| \quad \begin{aligned} &= x \cdot \hat{l}_x \cdot dl \end{aligned} \right.$$

$$S \approx \sum x_i \cdot \hat{l}_{i,x} \cdot dl$$

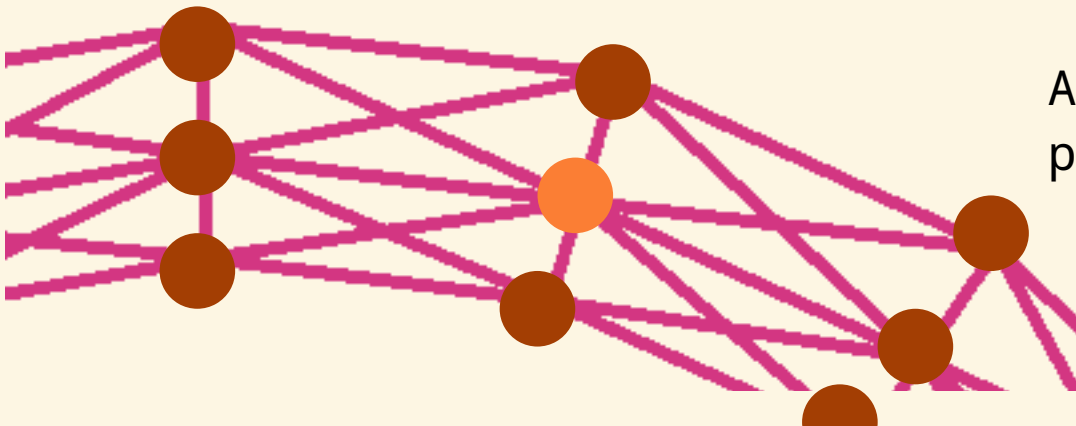


# Compromis ressort/gaz pour conserver la forme



Les points sont stockés dans un tableau pour un accès en  $O(1)$ . La navigation se fait en suivant :

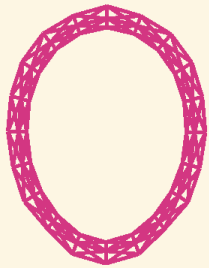
$$\begin{array}{ccccc} i + p + 1 & & i + p & & i + p - 1 \\ & & \uparrow & & \\ i + 1 & \leftarrow & i & \rightarrow & i - 1 \\ & & \downarrow & & \\ i - p + 1 & & i - p & & i - p - 1 \end{array}$$



Avec  $p$  le nombre de points par couche

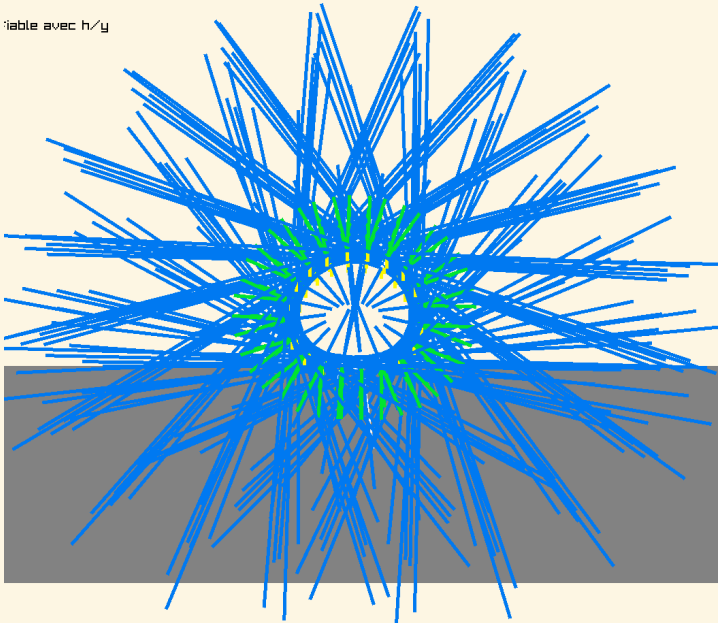
# Résultat

Déformation après rebond

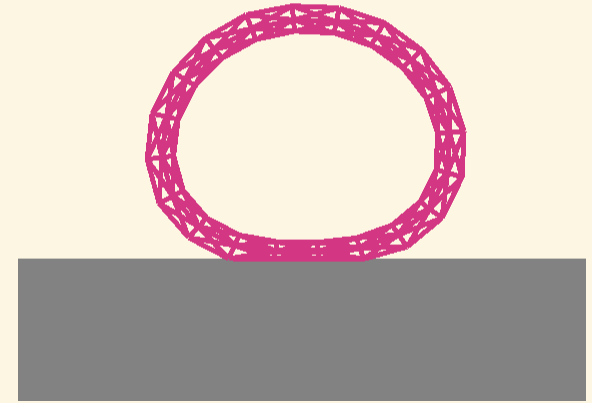


Forces appliquées sur les points

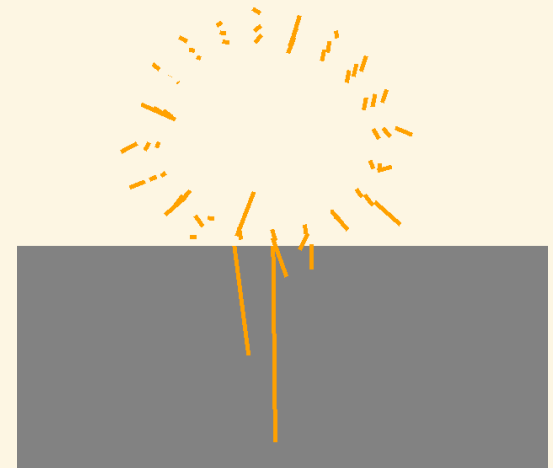
Table avec h/y



Position d'équilibre finale

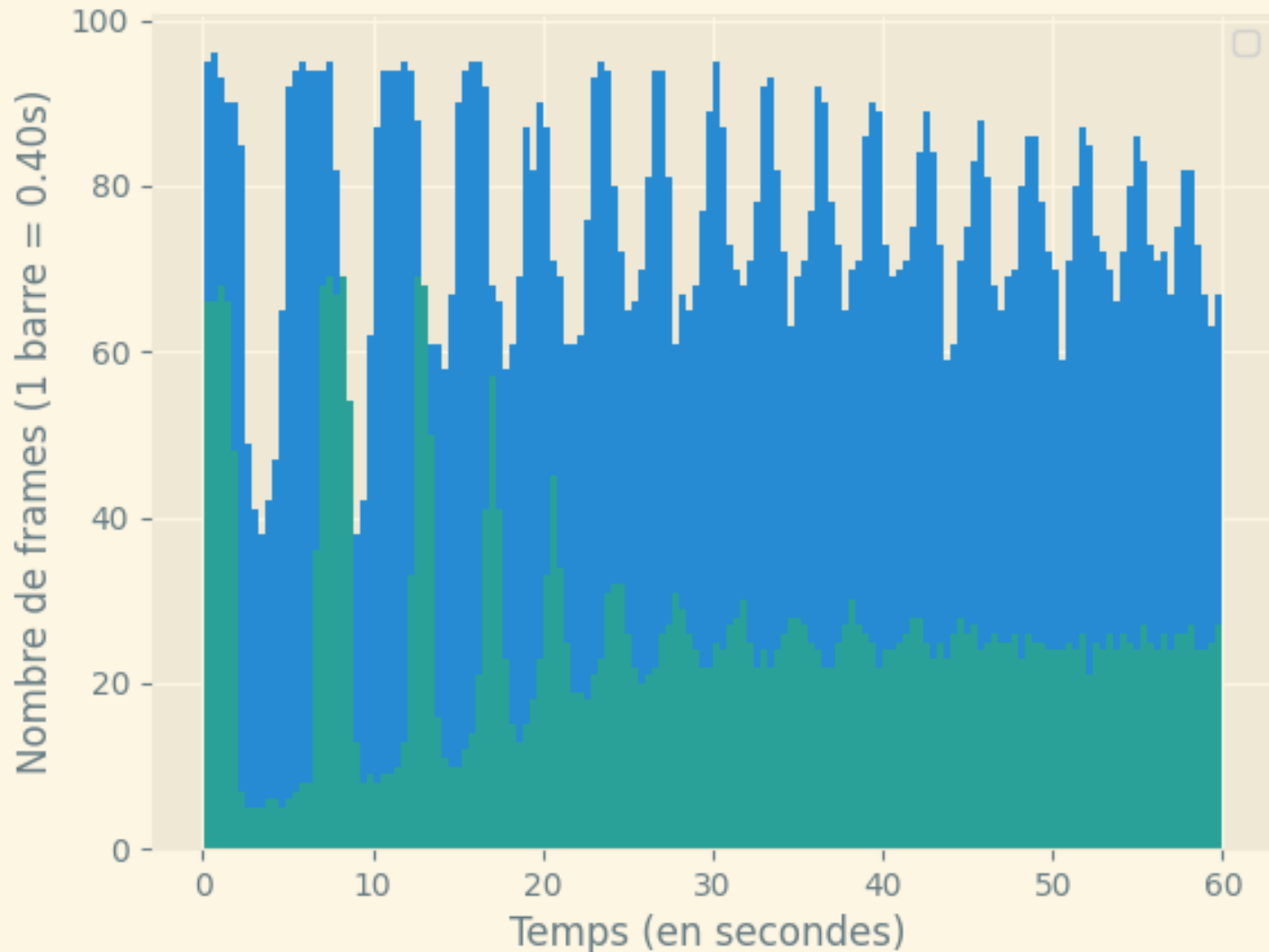


Profil d'accélération

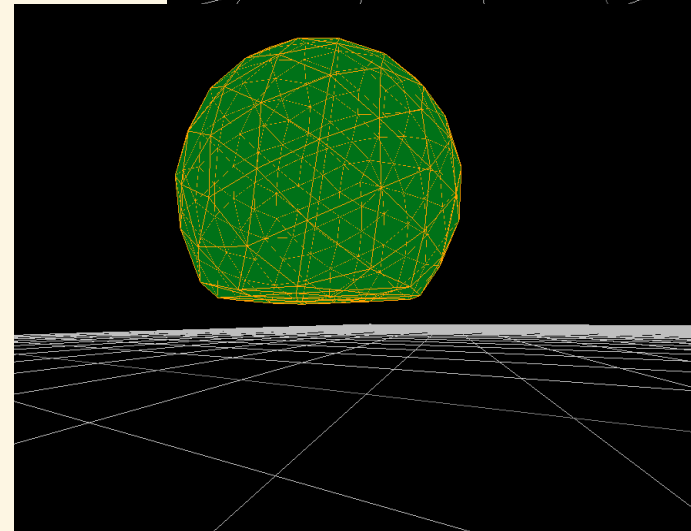
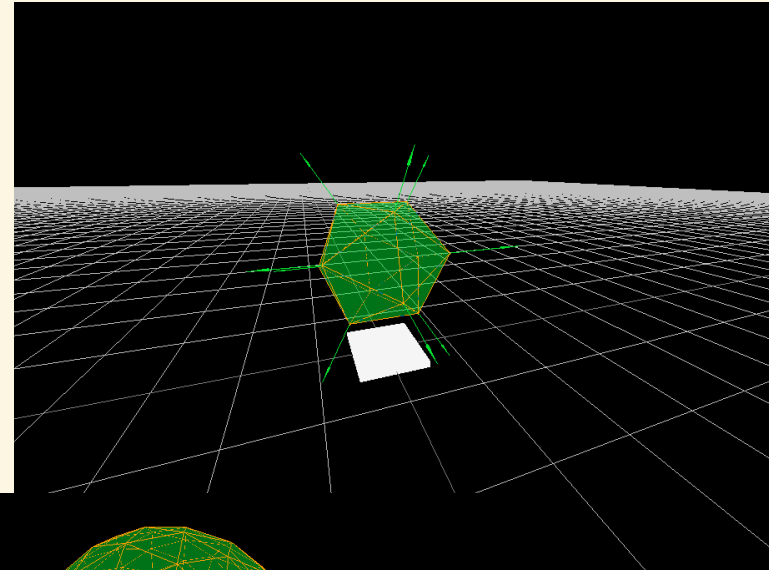
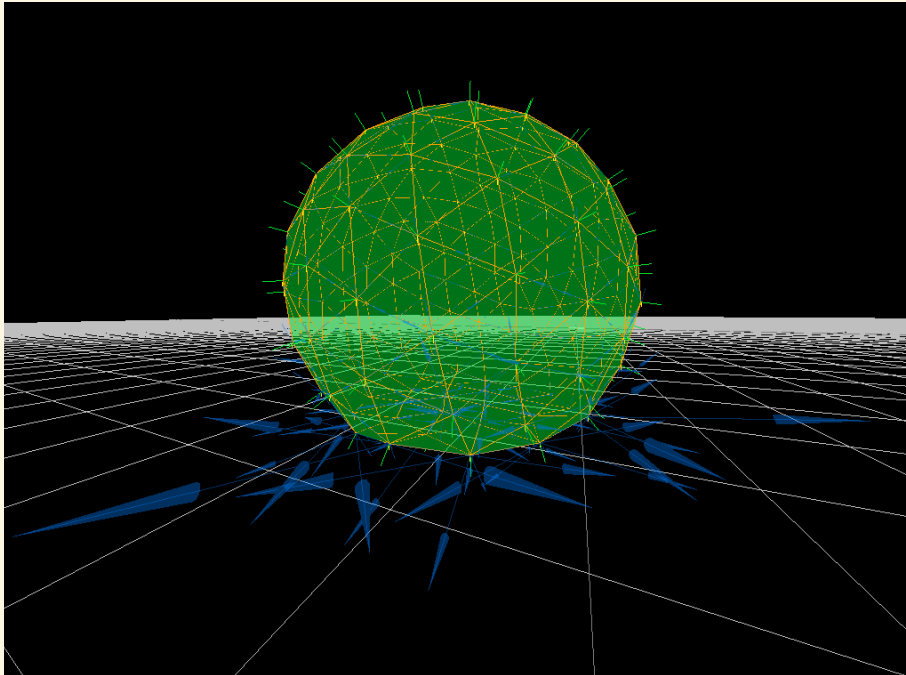


# Résultats

Comparaison du nombre de frames générés via les deux méthodes  
(pour un disque ayant la hauteur du cube)



# Extrapolation en 3 dimensions



# Conclusion

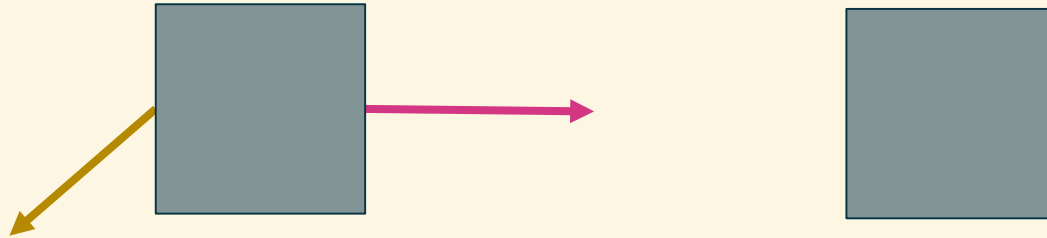
- Méthode masse-ressort pour simuler un comportement cohérent
- Méthode d'intégration de Runge et Kutta pour simuler un comportement stable
- Assimilation de la partie interne par un gaz parfait pour minimiser le temps de calcul

# Annexe

# Méthode d'Euler implicite

$$\vec{R} = k * (l - l_0) \vec{e}_x$$

$$\vec{f} = -\alpha \vec{v}$$

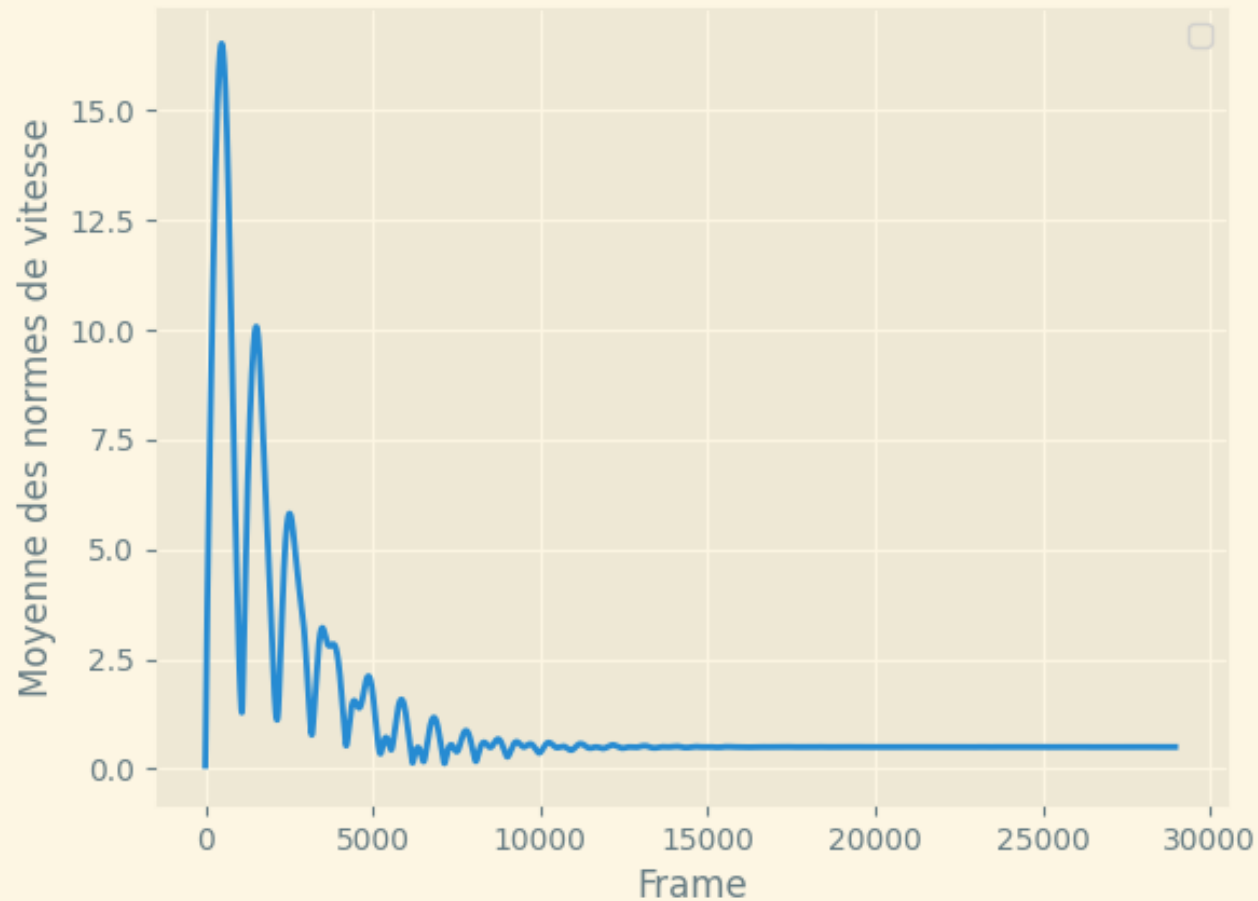


$$v[t + 1] = v[t] + \text{acceleration}(t) * dt$$

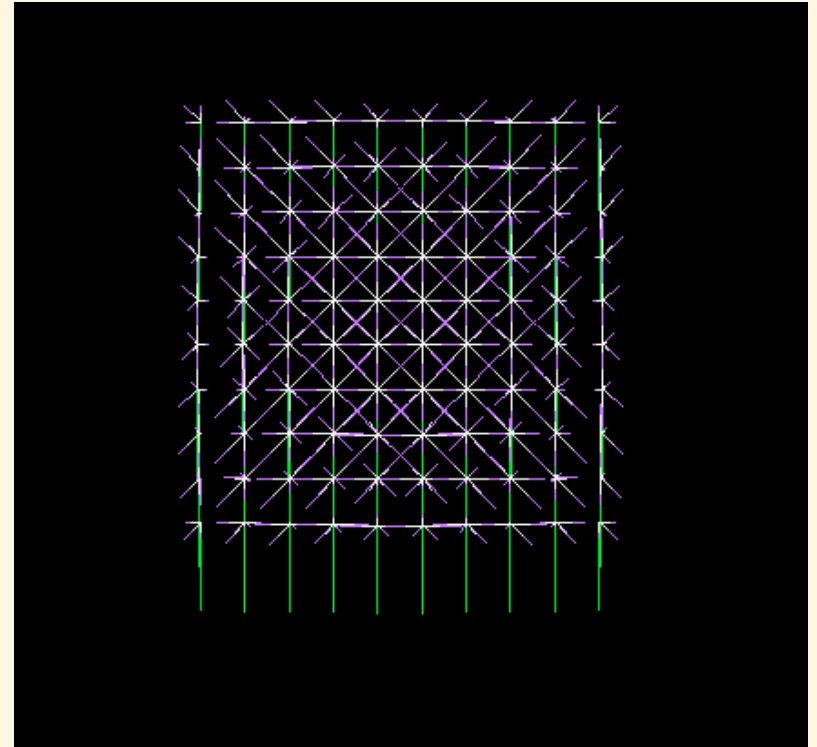
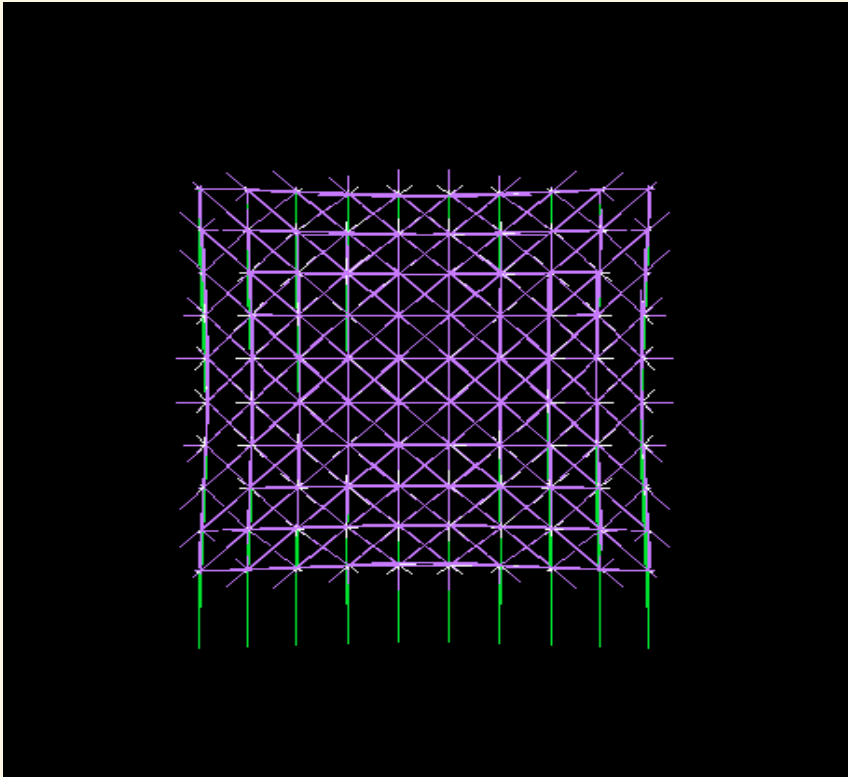
$$x[t + 1] = x[t] + v[t + 1] * dt$$



# Méthode d'Euler implicite



# Effet de respiration grâce au frottement



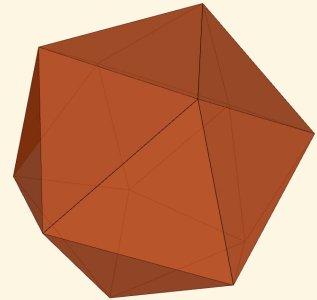
gravité

frottement  
amortisseur

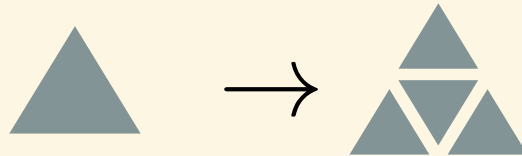
force de ressort  
élastique

## Construction de l'icosphère

On démarre avec un icosaèdre (20 faces) :



Pour chacune des faces, on applique la transformation :



Puis on norme les vecteurs des sommets pour qu'ils soient distants de  $R$  avec le centre

On itère ce procédé pour diminuer la rugosité de la sphère

Il y aura ainsi  $20 \times 3^n$  sommets après  $n$  itérations

## Description d'un solide isotrope : Loi de Hooke et équation de Lamé

→ La loi de Hooke

$$\sigma = E\varepsilon$$

où

$\sigma$  La contrainte (pression)

$E$  Le module de Young

$\varepsilon$  L'allongement relatif à la longueur à vide

$$\left(\varepsilon = \frac{l - l_0}{l_0}\right)$$

→ L'équation de Lamé

$$\sigma = E\varepsilon \iff \sigma = \lambda \text{Tr}(\varepsilon) + 2\mu\varepsilon$$

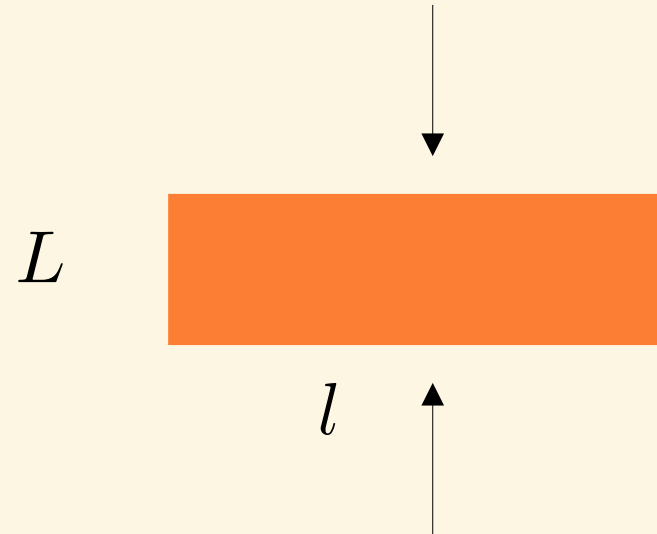
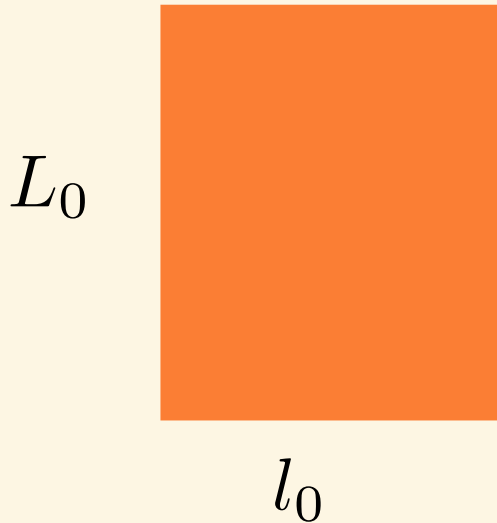
Le couple  $(\lambda, \mu)$   
défini entièrement  
le matériel isotrope

En posant : 
$$E = \frac{(3\lambda + 2\mu)\mu}{\lambda + \mu}$$

Deuxième paramètre pour décrire un matériel isotrope :  
coefficient de Poisson

$$\nu = \frac{\lambda}{2(\lambda + \mu)}$$

$$\nu = \frac{\frac{l_0 - l}{l_0}}{\frac{L_0 - L}{L_0}}$$



Avec le module de Young ( $E$ ) et le coefficient de Poisson ( $\nu$ ), on retrouve facilement les coefficients de Lamé.

## Preuve de la stabilité de Runge et Kutta

Une méthode d'intégration est dite stable de constante  $S$  si il existe  $S$  tel que, si

$$\begin{aligned}y_{n+1} &= y_n + h\phi(t_n, y_n) \\ \tilde{y}_{n+1} &= \tilde{y}_n + h\phi(t_n, \tilde{y}_n) + \varepsilon_n\end{aligned}$$

alors

$$\max_{n \leq N} |y_n - \tilde{y}_n| \leq S \sum_{n \leq N} |\varepsilon_n|$$

Où  $N$  est le nombre d'étapes durant l'entièreté de la simulation

## Preuve de la stabilité de Runge et Kutta

Lemme : Si une solution au problème de Cauchy  $y$  est  $k$ -lipschitzienne, on a avec le lemme de Gronwall :

$\phi$  est  $\Lambda$ -lipschitzienne  $\implies$   
la méthode d'intégration est stable,  
de constante de stabilité  $S = e^{\Lambda T}$

Où  $T$  est le temps total de la simulation

## Preuve de la stabilité de Runge et Kutta

$$\begin{aligned}t_{n,i} &= t_n + c_i \times h \\z(t_{n,i}) &= z(t_n) + h \sum_{j < i} a_{i,j} f(t_{n,j}, z(t_{n,j})) \\z(t_{n+1}) &= z(t_n) + h \sum_{j \leq 4} b_j f(t_{n,j}, z(t_{n,j})) \\\phi(t, z) &= \sum_{j \leq 4} b_j f(t_{n,j}, z(t_{n,j}))\end{aligned}$$

Reste à prouver que  $\phi$  est lipschitzienne. On part de deux sources  $y$  et  $z$  quelconques dans  $R$  :

$$\begin{aligned}\text{Lemme : } \forall i, \\|y_i - z_i| &\leq \sum_{p=0}^i (\alpha k h)^p |y - z|\end{aligned}$$

$$\text{Avec} \quad \alpha = \max \sum |a_{i,j}|$$



## Preuve de la stabilité de Runge et Kutta

$$\begin{aligned}t_{n,i} &= t_n + c_i \times h \\z(t_{n,i}) &= z(t_n) + h \sum_{j < i} a_{i,j} f(t_{n,j}, z(t_{n,j})) \\z(t_{n+1}) &= z(t_n) + h \sum_{j \leq 4} b_j f(t_{n,j}, z(t_{n,j})) \\\phi(t, z) &= \sum_{j \leq 4} b_j f(t_{n,j}, z(t_{n,j}))\end{aligned}$$

d'où

$$\begin{aligned}& |\phi(t, y) - \phi(t, z)| \\& \leq \sum |b_j| k |y_j - z_j| \\& \leq k \sum |b_j| \sum_{p=0}^j (\alpha k h)^p |y - z| \\& \leq \Lambda |y - z|\end{aligned}$$

## Preuve de la stabilité de Runge et Kutta

$$\begin{aligned}t_{n,i} &= t_n + c_i \times h \\z(t_{n,i}) &= z(t_n) + h \sum_{j < i} a_{i,j} f(t_{n,j}, z(t_{n,j})) \\z(t_{n+1}) &= z(t_n) + h \sum_{j \leq 4} b_j f(t_{n,j}, z(t_{n,j})) \\\phi(t, z) &= \sum_{j \leq 4} b_j f(t_{n,j}, z(t_{n,j}))\end{aligned}$$

Preuve du lemme par récurrence

$$\begin{aligned}& |y_i - z_i| \\& \leq |y - z| + h \sum_{j \leq i} |a_{i,j}| |f(t_j, y_j) - f(t_j, z_j)| \\& \leq |y - z| + h \sum_{j \leq i} |a_{i,j}| k |y_j - z_j| \\& \leq |y - z| + \alpha h k \max |y_j - z_j| \\& \leq |y - z| + \alpha h k \sum (\alpha h k)^p |y_j - z_j| \\& \leq \sum_{p=0}^i (\alpha k h)^p |y - z|\end{aligned}$$